

УДК 532.593

ВОЛНОВЫЕ ДВИЖЕНИЯ, ВОЗНИКАЮЩИЕ
В СТРАТИФИЦИРОВАННОЙ ЖИДКОСТИ ПРИ ОБТЕКАНИИ
ПОГРУЖЕННОГО ТЕЛА

И. В. Ступрова

(Новосибирск)

Методом интегральных преобразований в линейной постановке решены плоская и пространственная задачи о волновых движениях, возникающих при обтекании погруженных источника и стока равной мощности равномерным потоком стратифицированной по плотности жидкости.

Методом [1,2] исследуется задача о волновых течениях, вызываемых наличием источника и стока равной мощности m , помещенных под свободной поверхностью в равномерном потоке тяжелой жидкости бесконечной глубины. Жидкость предполагается невязкой, несжимаемой, экспоненциально стратифицированной по плотности. Оси x и z расположены на невозмущенной свободной поверхности так, что направление вектора скорости жидкости далеко вверх по потоку совпадает с направлением оси x , ось y направлена вертикально вверх. В невозмущенном состоянии плотность жидкости ρ_0 является известной функцией и зависит от глубины

$$(1) \quad \rho_0 = \rho_0(0) \exp(-y/L), \quad y \leq 0$$

Рассматриваются плоская (источник и сток являются линейными и параллельны оси z) и пространственная (источник и сток точечные) задачи.

Отрезок прямой, соединяющий источник и сток, параллелен оси x , расположен на глубине h от свободной поверхности и имеет длину $2a$. Ось y проходит через его середину.

Как известно (например, [3]), обтекание такой комбинации источника и стока безграничным потоком однородной жидкости эквивалентно обтеканию замкнутого симметричного овала в плоском случае и осесимметричного овала в пространственном случае. Считается, что в первом приближении это справедливо и для данной задачи при достаточно большом погружении и слабой стратификации.

Если заданными величинами являются максимальная полуширина тела R , его удлинение d и скорость основного течения U , то значения $\alpha = a/R$ в плоском и в пространственном случаях можно определить, решая соответственно уравнения

$$\begin{aligned} \alpha^2 + \alpha / \operatorname{arctg} \alpha &= d^2, \quad m = \pi UR / \operatorname{arctg} \alpha \\ (d^2 - \alpha^2)^2 &= d \sqrt{\alpha^2 + 1}, \quad m = \pi UR^2 \sqrt{\alpha^2 + 1} / \alpha \end{aligned}$$

Исследуемая задача стационарная, однако в силу причин, изложенных в [1], возникает необходимость рассматривать ее как нестационарную с начальными данными. При этом предполагается, что источник и сток начинают действовать одновременно в момент времени $t = 0$ и при $t > 0$ их интенсивности постоянны. Решение такой нестационарной задачи в пределе при $t \rightarrow \infty$ совпадает с решением исходной стационарной задачи.

Строгое математического доказательства этого факта для данной задачи пока нет и в настоящей работе это утверждение делается из физических соображений.

Уравнения движения для пространственного течения имеют вид

$$(2) \quad \begin{aligned} \frac{\partial u}{\partial x} + \frac{\partial v}{\partial y} + \frac{\partial w}{\partial z} &= mH(t) [\delta(x+a) - \delta(x-a)] \times \\ &\times \delta(y+h) \delta(z) \\ \frac{du}{dt} &= -\frac{1}{\rho} \frac{dp}{\partial x}, \quad \frac{dv}{dt} = -\frac{1}{\rho} \frac{dp}{\partial y} - g \\ \frac{dw}{dt} &= -\frac{1}{\rho} \frac{dp}{\partial z}, \quad \frac{dp}{dt} = 0, \quad \frac{d}{dt} \equiv \frac{\partial}{\partial t} + u \frac{\partial}{\partial x} + v \frac{\partial}{\partial y} + w \frac{\partial}{\partial z} \end{aligned}$$

Здесь u, v, w — компоненты вектора скорости в направлении осей x, y, z соответственно, ρ — плотность, p — давление, g — ускорение силы тяжести, δ — делта-функция Дирака, $H(t)$ — функция Хэвисайда

$$H(t) = \begin{cases} 0, & t \leq 0 \\ 1, & t > 0 \end{cases}$$

На свободной поверхности

$$(3) \quad \begin{aligned} F_0(x, y, z, t) &= y - \eta_0(x, z, t) = 0 \\ dF_0/dt &= 0, \quad dp/dt = 0 \end{aligned}$$

Предполагается, что

$$(4) \quad \begin{aligned} u &\rightarrow U, \quad v \rightarrow 0, \quad w \rightarrow 0, \quad \rho \rightarrow \rho_0, \quad p \rightarrow p_0, \quad x^2 + y^2 + z^2 \rightarrow \infty \\ p_0 &= -g \int_0^y \rho_0(y) dy \end{aligned}$$

Начальные условия

$$u = U, \quad v = 0, \quad w = 0, \quad \rho = \rho_0, \quad p = p_0, \quad t \leq 0$$

производные u, v, w, ρ, p по времени также равны нулю.

Вводя

$$u = U + u_1, \quad v = v_1, \quad w = w_1, \quad \rho = \rho_0(y) + \rho_1, \quad p = p_0(y) + p_1$$

и предполагая, что возмущения, вызываемые наличием особенностей, малы, уравнения (2) и граничные условия (3) можно линеаризовать и свести к одному уравнению для функции v

$$(5) \quad \begin{aligned} D^2 \Delta v + \frac{1}{L} \left[g \left(\frac{\partial^2 v}{\partial x^2} + \frac{\partial^2 v}{\partial z^2} \right) - D^2 \frac{\partial v}{\partial y} \right] &= m D^2 H(t) \times \\ &\times [\delta(x+a) - \delta(x-a)] \delta(z) \left[\delta'(y+h) - \frac{1}{L} \delta(y+h) \right] \end{aligned}$$

с граничным условием

$$(6) \quad \begin{aligned} D^2 \frac{\partial v}{\partial y} - g \left(\frac{\partial^2 v}{\partial x^2} + \frac{\partial^2 v}{\partial z^2} \right) &= 0, \quad y = 0 \\ D &\equiv \frac{\partial}{\partial t} + U \frac{\partial}{\partial x}, \quad \Delta \equiv \frac{\partial^2}{\partial x^2} + \frac{\partial^2}{\partial y^2} + \frac{\partial^2}{\partial z^2} \end{aligned}$$

На поверхности равной плотности, определяемой функцией

$$F(x, y, z, t) = y - \eta(x, z, t) = 0$$

состоящей из частиц, имеющих плотность $\rho_0(\bar{y})$, при отсутствии особенностей являющейся горизонтальной плоскостью $y = \bar{y}$, выполняется

условие

$$dF / dt = 0, F(x, y, z, t) = 0$$

которое после линеаризации, описанной выше, принимает вид

$$(7) \quad D\eta = v, y = \bar{y}$$

Приведенные выше уравнения и преобразования справедливы и для плоского течения, если положить $w = 0$, в правых частях уравнений (2), (5) убрать сомножитель $\delta(z)$ и учесть, что все функции не зависят от z . В граничных условиях (4) для плоского случая предполагается ограниченность искомых функций при $x \rightarrow \infty$.

Введем безразмерные переменные

$$(8) \quad (x_*, y_*, z_*, h_*, \eta_*, a_*) = \frac{1}{L} (x, y, z, h, \eta, a), \quad v_* = v/U, \quad t_* = Ut/L$$

где $Q_* = m / UL^2$ в пространственном случае, $Q_* = m / UL$ в плоском случае. Уравнение (5) и граничное условие (6) в этих переменных примут вид (звездочку снизу в дальнейшем опустим)

$$\begin{aligned} \bar{D}^2 \left(\Delta v - \frac{\partial v}{\partial y} \right) + \lambda \left(\frac{\partial^2 v}{\partial x^2} + \frac{\partial^2 v}{\partial z^2} \right) &= Q \bar{D}^2 H(t) \times \\ &\times [\delta(x+a) - \delta(x-a)] \delta(z) [\delta'(y+h) - \delta(y+h)] \\ \bar{D}^2 \frac{\partial v}{\partial y} - \lambda \left(\frac{\partial^2 v}{\partial x^2} + \frac{\partial^2 v}{\partial z^2} \right) &= 0, \quad y = 0 \\ \lambda &= gL / U^2, \quad \bar{D} \equiv \partial / \partial x + \partial / \partial t \end{aligned}$$

Применяя преобразования Фурье и Лапласа

$$f(\mu, y, v, s) = \int_0^\infty e^{-st} dt \int_{-\infty}^\infty e^{-i\mu x} dx \int_{-\infty}^\infty e^{-ivz} v(x, y, z, t) dz$$

для действительных μ, v и $\text{Re } s > 0$ (в плоской задаче преобразование Фурье по z отсутствует) и вводя функцию

$$(9) \quad f = Q (\partial / \partial h - 1) G$$

получим обыкновенное дифференциальное уравнение

$$(10) \quad G'' - G' - (k^2 - \lambda_1) G = \frac{2i}{s} \sin(\mu a) \delta(y+h)$$

с граничными условиями

$$(11) \quad G' - \lambda_1 G = 0, \quad y = 0; \quad G \rightarrow 0, \quad y \rightarrow -\infty$$

$$k^2 = v^2 + \mu^2, \quad \lambda_1 = -\lambda k^2 / (s + i\mu)^2$$

Решение уравнения (10) имеет вид

$$(12) \quad G = -\frac{i}{sM} \sin(\mu a) \exp[(y+h)/2] \times$$

$$\times \left\{ \exp(-|y+h|M) - \frac{m_2 - \lambda_1}{m_1 - \lambda_1} \exp[(y-h)M] \right\}$$

$$m_{1,2} = \frac{1}{2} \pm M, \quad M = (k^2 - \lambda_1 + \frac{1}{4})^{1/2}$$

В комплексной k -плоскости функция M имеет четыре точки ветвления (k_1, k_2, k_3, k_4) . Для малых положительных s

$$(13) \quad k_{1,2} = \pm b + \frac{i\lambda s}{b^2 \sin^2 \theta} + O(s^2), \quad k_{3,4} = \frac{is}{\sin \theta \pm 2\sqrt{\lambda}} + O(s^2)$$

$$b = \sqrt{\lambda / \sin^2 \theta - \frac{1}{4}}, \quad \mu = k \sin \theta, \quad v = k \cos \theta$$

Отметим, что для условий реального океана практический интерес представляют лишь значения $\lambda > 1$. Разрезы между точками ветвления проведены следующим образом: между k_1 и k_2 в верхней полуплоскости и по мнимой оси от k_3 вверх и от k_4 вниз.

Зная G , из (7) и (9) определим функцию ξ — образ Фурье и Лапласа для функции η

$$(14) \quad \xi = \frac{iQ \sin(\mu x)}{sM(s + i\mu)} \exp[(\bar{y} + h)/2] \times \\ \times \left\{ \exp(-|\bar{y} + h| M) \left[\frac{1}{2} + M \operatorname{sign}(\bar{y} + h) \right] - m_1 \frac{m_2 - \lambda_1}{m_1 - \lambda_1} \times \right. \\ \left. \times \exp[(\bar{y} - h) M] \right\}$$

Кроме четырех точек ветвления M , функция ξ имеет при $\lambda > 1/2$ два простых полюса

$$(15) \quad n_{1,2} = \pm \lambda / \sin^2 \theta + 2is / \sin \theta + O(s^2)$$

Для плоского случая в выражениях (10) — (15) следует положить $v = 0$, $\theta = \pi/2$.

Дальнейший анализ трудно вести параллельно для плоского и пространственного случаев, поэтому рассмотрим сначала плоскую задачу (как более простую).

Применяя обратное преобразование Фурье и предельную теорему для преобразования Лапласа, получим

$$(16) \quad \eta(x) = \frac{1}{2\pi} \int_{-\infty}^{\infty} e^{i\mu x} \lim_{s \rightarrow 0+} s\xi d\mu = \frac{1}{\pi} \operatorname{Re} \int_0^{\infty} e^{i\mu x} \lim_{s \rightarrow 0+} s\xi d\mu$$

Здесь последнее равенство следует из симметрии точек ветвления и положения полюсов функции ξ относительно мнимой оси и из того, что функция $\xi(-\mu, s)$ является комплексно-сопряженной функции $\xi(\mu, s)$ при действительном положительном s .

Прежде чем выписать окончательное выражение для функции $\eta(x)$, перейдем к безразмерным переменным

$$(17) \quad (X, Y, \Omega) = \frac{1}{R}(x, \bar{y}, \eta), \quad q = m/UR, \quad \varepsilon = \frac{R}{L}, \quad H = \frac{h}{R} \\ \Lambda = gR/U^2, \quad \beta = \sqrt{\varepsilon\Lambda - \varepsilon^2/4}$$

Здесь x, \bar{y}, η, h — исходные размерные переменные. Выполнив интегрирование в (16) (контур интегрирования аналогичен [1,4]), используя теорему о вычетах и лемму Жордана, получим

$$(18) \quad \Omega = \eta_1 + \eta_2 + \eta_3, \quad X \geq 0 \\ \Omega = \eta_2, \quad X < 0$$

Здесь

$$\eta_1(X, Y) = -4\gamma \sin(\Lambda X) \left(\Lambda - \frac{\varepsilon}{2} \right) \exp[\Lambda(Y - H) + H\varepsilon] \\ \gamma = q \frac{\sin(\Lambda x)}{\Lambda}$$

есть вычет в точке $\mu = \Lambda$, это слагаемое описывает волны с периодом $2\pi/\Lambda$, вызванные наличием свободной поверхности; слагаемое

$$(19) \quad \eta_2(X, Y) = -\frac{1}{\pi} \operatorname{Im} \int_0^{\infty} e^{-k|X|} Z(\mu, B, Y) dk \\ \mu = ik, \quad B = i\sqrt{k^2 + \beta^2}$$

возникает в результате интегрирования по мнимой оси, является четной функцией X и существенно в основном вблизи особенностей; и наконец, слагаемое

$$(20) \quad \eta_3(X, Y) = \frac{2}{\pi} \operatorname{Im} \int_0^{\beta} \sin(\mu X) Z(\mu, B, Y) d\mu, \quad B = i \sqrt{\beta^2 - \mu^2}$$

которое обусловлено интегрированием вдоль разреза по действительной оси μ , описывает внутренние волны, вызванные наличием экспоненциальной стратификации ($\eta_3 = 0$ при $\epsilon = 0$). Здесь

$$\begin{aligned} Z(\mu, B, Y) = & \frac{q}{\mu B} \sin(\mu x) \exp[(Y + H)\epsilon/2] \times \\ & \times \left\{ \exp(-|Y + H|B) \left[\frac{\epsilon}{2} + B \operatorname{sign}(Y + H) \right] - \right. \\ & \left. - \frac{(\epsilon/2 + B)(\epsilon/2 - B - \Lambda)}{\epsilon/2 + B - \Lambda} \exp[(Y - H)B] \right\} \end{aligned}$$

Аналогично из уравнения неразрывности можно определить возмущение продольной скорости

$$(21) \quad \begin{aligned} u_1/U &= \zeta_1 + \zeta_2 + \zeta_3, \quad X \geq 0 \\ u_1/U &= \zeta_2, \quad X < 0 \end{aligned}$$

Здесь

$$\zeta_1(X, Y) = -\Lambda \eta_1(X, Y)$$

а функции $\zeta_2(X, Y)$ и $\zeta_3(X, Y)$ аналогичны выражениям (19) и (20) с ядром

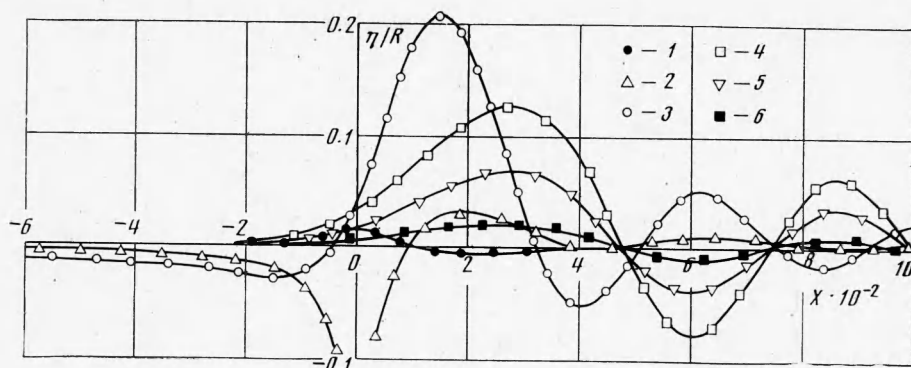
$$\begin{aligned} \bar{Z}(\mu, B, Y) = & -\frac{q}{\mu B} \sin(\mu x) \left(\frac{\epsilon}{2} + B \right) \exp[(Y + H)\epsilon/2] \times \\ & \times \left\{ \exp[-|Y + H|B] \left(\frac{\epsilon}{2} - B \right) - \frac{(\epsilon/2 + B)(\epsilon/2 - B - \Lambda)}{(\epsilon/2 + B - \Lambda)} \times \right. \\ & \left. \times \exp(Y - H)B \right\} \end{aligned}$$

В данной работе исследованы случаи $d = 1, 5, 10$ и в табл. 1 приведены соответствующие значения α, q, γ (значения γ даны $\Lambda = 0,5$). При $d = 1$ имеем обтекание окружности радиуса R , в этом случае источник и сток образуют диполь (решение для диполя в потоке стратифицированной жидкости получено в [4]).

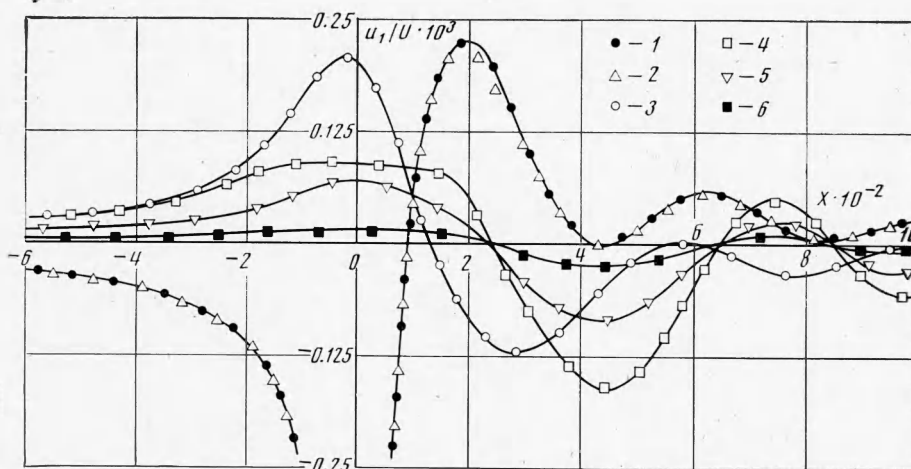
Таблица 1

d	α	q	γ
1	—	—	3.14
5	4.65	2.31	3.38
10	9.67	2.14	-4.25

В данной работе исследованы случаи $d = 1, 5, 10$ и в табл. 1 приведены соответствующие значения α, q, γ (значения γ даны $\Lambda = 0,5$). При $d = 1$ имеем обтекание окружности радиуса R , в этом случае источник и сток образуют диполь (решение для диполя в потоке стратифицированной жидкости получено в [4]). Как указывалось в [4], поверхностные волны существенны лишь при относительно небольших погружениях, и из табл. 1 видно, что при возрастании удлинения тела амплитуда поверхностных волн увеличивается незначительно. Для исследования поведения внутренних волн выполнено численное интегрирование (18) и (21) на ЭВМ по методу Симпсона при $\Lambda = 0,5$, $H = 20$, $\epsilon = 5 \cdot 10^{-4}$ (для данных значений Λ и H волны, вызванные наличием свободной поверхности, пренебрежимо малы). На фиг. 1, 2 кривые 1—4 соответствуют значениям $d = 10$ и $Y = 0, -16, -160, -576$, кривые 5, 6 — значениям $Y = -576$ и $d = 1, 5$. Интересно отметить, что хотя форма свободной поверхности при наличии внутренних волн меняется мало, возмущения горизонтальной скорости на свободной поверхности максимальны. С глубиной внутренние волны в плоском случае затухают очень медленно. Увеличение удлинения тела при постоянном R



Фиг. 1



Фиг. 2

приводит к возрастанию амплитуды внутренней волны почти пропорционально удлинению и практически не сказывается на фазовой картине.

Выполним теперь исследование пространственной задачи. Возвращаясь к (14) и применяя обратные преобразования Фурье и предельную теорему для преобразования Лапласа, получим

$$\begin{aligned} \eta(x, z) &= \frac{1}{4\pi^2} \int_{-\infty}^{\infty} e^{i\mu x} d\mu \int_{-\infty}^{\infty} e^{ivz} dv \lim_{s \rightarrow 0+} s\xi = \\ &= \frac{1}{\pi^2} |\text{Re} \int_0^{\infty} e^{i\mu x} d\mu \int_0^{\infty} \cos vzdv \lim_{s \rightarrow 0+} s\xi| \end{aligned}$$

Здесь последнее равенство следует из того, что подынтегральное выражение является четной функцией по v и функция $\xi(-\mu, v, s)$ — комплексно-сопряженная функция $\xi(-\mu, v, s)$ при действительном положительном s .

Выполнив замену переменных

$$(22) \quad \begin{aligned} \mu &= k \sin \theta, v = k \cos \theta \\ x &= r \cos \varphi, z = r \sin \varphi \end{aligned}$$

и осуществив предельный переход, получим

$$(23) \quad \eta(r, \varphi) = \frac{Q}{2\pi^2} \exp[(\bar{y} + h)/2] \times$$

$$\times \operatorname{Re} \int_0^{\pi/2} d\theta \int_0^\infty \Phi(k, \theta) [e^{ikr \sin(\theta+\varphi)} + e^{ikr \sin(\theta-\varphi)}] dk$$

$$\Phi(k, \theta) = \frac{\sin(ak \sin \theta)}{B \sin \theta} \left\{ \exp(-|\bar{y} + h|B) \left[\frac{1}{2} + B \operatorname{sign}(\bar{y} + h) \right] - \right.$$

$$\left. - \frac{(1/2 + B)(1/2 - B - \bar{\lambda})}{1/2 + B - \bar{\lambda}} \exp[(\bar{y} - h)B] \right\}$$

$$B = (k^2 - \bar{\lambda} + 1/4)^{1/2}, \quad \bar{\lambda} = \lambda / \sin^2 \theta$$

Контур интегрирования аналогичен используемому в плоской задаче, он выбирается в первом или четвертом квадранте k -плоскости в зависимости от знака $\sin(\theta + \varphi)$ или $\sin(\theta - \varphi)$ (табл. 2).

Таблица 2

φ	$0 < \varphi < \pi/2$		$\pi/2 < \varphi < \pi$	
	I	IV	I	IV
Квадрант				
$e^{ikr \sin(\theta + \varphi)}$	$0 < \theta < \pi/2$	—	$0 < \theta < \pi - \varphi$	$\pi - \varphi < \theta < \pi/2$
$e^{ikr \sin(\theta - \varphi)}$	$\varphi < \theta < \pi/2$	$0 < \theta < \varphi$	—	$0 < \theta < \pi/2$

В результате получим следующие интегральные представления для поверхностей равной плотности:

$$(24) \quad \eta(r, \varphi) = \frac{Q}{2\pi^2} \exp[(\bar{y} + h)/2] \left\{ \int_0^{\pi/2} J_1 \sin(\bar{\lambda} r \sin(\theta + \varphi)) d\theta + \right.$$

$$+ \int_{\varphi}^{\pi/2} J_1 \sin(\bar{\lambda} r \sin(\theta - \varphi)) d\theta +$$

$$+ \int_0^{\pi/2} d\theta \int_0^\infty J_2 [e^{-kr \sin(\theta+\varphi)} + e^{-kr \sin(\theta-\varphi)}] dk +$$

$$+ \int_0^{\pi/2} d\theta \int_0^b J_3 \sin(kr \sin(\theta + \varphi)) dk +$$

$$+ \int_\varphi^{\pi/2} d\theta \int_0^b J_3 \sin(kr \sin(\theta - \varphi)) dk \right\} \quad 0 \leq \varphi \leq \pi/2 \quad (x \geq 0)$$

$$\eta(r, \varphi) = - \frac{Q}{2\pi^2} \exp[(\bar{y} + h)/2] \left\{ \int_0^\gamma J_1 \sin(\lambda r \sin(\theta - \gamma)) d\theta - \right.$$

$$- \int_0^{\pi/2} d\theta \int_0^\infty J_2 [e^{-kr \sin(\theta-\gamma)} + e^{-kr \sin(\theta+\gamma)}] dk +$$

$$+ \int_0^\gamma d\theta \int_0^b J_3 \sin(kr \sin(\theta - \gamma)) dk \right\}, \quad \pi/2 < \varphi \leq \pi \quad (x < 0), \quad \gamma = \pi - \varphi$$

Здесь

$$(25) \quad J_1 = \frac{2\pi}{\sin \theta} \sin(a\bar{\lambda} \sin \theta) (1 - 2\bar{\lambda}) \exp[(\bar{y} - h)(\bar{\lambda} - 1/2)]$$

$$\begin{aligned}
 J_2 &= \frac{\sin(ak \sin \theta)}{f \sin \theta} \left\{ \frac{1}{2} \sin((|\bar{y} + h|f) - f \operatorname{sign}(\bar{y} + h) \cos[(\bar{y} + h)f] + \right. \\
 &\quad + \frac{\sin[(\bar{y} - h)f]}{2(k^2 + \bar{\lambda}^2)} (k^2 - 4\bar{\lambda}k^2 - 3\bar{\lambda}^2 + \bar{\lambda}) + f(\bar{\lambda}^2 - k^2 - \bar{\lambda}) \times \\
 &\quad \times \left. \frac{\cos[(\bar{y} - h)f]}{k^2 + \bar{\lambda}^2} \right\} \\
 J_3 &= -\frac{\sin(ak \sin \theta)}{n \sin \theta} \left\{ \cos[(\bar{y} + h)n] + 2n \sin[(\bar{y} + h)n] - \right. \\
 &\quad - (\bar{\lambda} - 3\bar{\lambda}^2 - k^2 + 4\bar{\lambda}k^2) \frac{\cos[(\bar{y} - h)n]}{\bar{\lambda}^2 - k^2} + 2n(\bar{\lambda}^2 - \bar{\lambda} + k^2) \times \\
 &\quad \times \left. \frac{\sin[(\bar{y} - h)n]}{\bar{\lambda}^2 - k^2} \right\} \\
 f &= \sqrt{k^2 + b^2}, \quad n = \sqrt{b^2 - k^2}, \quad b = \sqrt{\bar{\lambda} - 1/4}
 \end{aligned}$$

Однократные интегралы с ядром J_1 описывают волны, вызванные наличием свободной поверхности, их исследование для диполя в однородной жидкости выполнено в [5]. Двойные интегралы с ядром J_2 являются четной функцией по x и быстро убывают с ростом r . Они описывают локальные эффекты в окрестности особенностей. Двойные интегралы с ядром J_3 представляют собой внутренние волны, вызванные наличием плотностной стратификации.

Численный счет двойных интегралов в (24) требует больших затрат машинного времени, поэтому для данной задачи выполнено лишь небольшое число расчетов, в частности для $gh / U^2 = 5$ определена форма свободной поверхности при обтекании диполя потоком однородной жидкости и стратифицированной жидкости при $h / L = 5 \cdot 10^{-3}$. Результаты для обоих случаев совпадают с точностью до погрешности численного счета (относительная погрешность численного интегрирования составляла 0.01) и полученная картина представляет собой обычные корабельные волны. Следовательно, так же как и в плоском случае, наличие слабой стратификации практически не сказывается на форме свободной поверхности (см. также [2, 6]).

Рассматриваемую задачу можно значительно упростить, если ограничиться исследованием обтекания глубоко погруженного тела потоком слабо стратифицированной жидкости.

В отличие от (1) распределение плотности по глубине задается в виде

$$\rho_0(y) = \rho_0(-h) \exp[-(y + h)/L]$$

Так как предварительные расчеты для полной задачи (24) показали, что слагаемые, характеризующие внутренние волны, практически не влияют на форму свободной поверхности, а из (25) видно, что при достаточном погружении и слагаемые, описывающие поверхность волны, будут пренебрежимо малы, то свободную поверхность можно заменить твердой стенкой.

Повторяя анализ, проведенный выше, в безразмерных переменных (8) получим, что решение уравнения (10) с граничными условиями (звездочку снизу, как и выше, опустим)

$$G = 0 \begin{cases} y = 0 \\ y \rightarrow -\infty \end{cases}$$

имеет вид

$$G = \frac{i}{sM} \sin(\mu a) e^{(y+h)/2} [e^{(y-h)M} - e^{-|y+h|M}]$$

Следовательно

$$\xi = \frac{iQ}{sM(s+i\mu)} \sin(\mu a) e^{(\bar{y}+h)/2} \left\{ \left[-\frac{1}{2} + M \operatorname{sign}(\bar{y}+h) \right] e^{-|\bar{y}+h| M} + m_1 e^{(\bar{y}-h)M} \right\}$$

и в (23)

$$\Phi(k, \theta) = \frac{\sin(ak \sin \theta)}{B \sin \theta} \left\{ \exp(-B|\bar{y}+h|) \times \right. \\ \left. \times \left[\frac{1}{2} + B \operatorname{sign}(\bar{y}+h) \right] - \left(\frac{1}{2} + B \right) \exp[(\bar{y}-h)B] \right\}$$

В выражении для $\eta(r, \varphi)$ оставим лишь слагаемые, описывающие внутренние волны, так как они представляют основной интерес в данной задаче

$$(26) \quad \eta(r, \varphi) = \frac{Q}{\pi^2} e^{(\bar{y}+h)/2} \left\{ \int_0^{\pi/2} d\theta \int_0^b J \sin(kr \sin(\theta + \varphi)) dk + \right. \\ \left. + \int_{\varphi}^{\pi/2} d\theta \int_0^b J \sin(kr \sin(\theta - \varphi)) dk \right\}, \quad x \geq 0$$

$$\eta(r, \varphi) = \frac{Q}{\pi^2} e^{(\bar{y}+h)/2} \int_0^{\gamma} d\theta \int_0^b J \sin(kr \sin(\gamma - \theta)) dk \quad x < 0$$

$$J = -\frac{\sin(ak \sin \theta)}{f \sin \theta} \left\{ \frac{1}{2} \cos[(\bar{y}+h)f] + f \sin[(\bar{y}+h)f] - \right. \\ \left. - \frac{1}{2} \cos[(\bar{y}-h)f] + f \sin[(\bar{y}-h)f] \right\}, \quad f = \sqrt{b^2 - k^2}$$

Далее произведем замену переменной $y' = \bar{y} + h$ и предположим, что глубина погружения тела стремится к бесконечности, тогда в (26)

$$(27) \quad J = -\frac{\sin(ak \sin \theta)}{f \sin \theta} \left(\frac{1}{2} \cos fy' + f \sin fy' \right)$$

От безразмерных переменных (8) перейдем аналогично (17) к безразмерным переменным, построенным относительно R

$$(28) \quad y_1 = (\bar{y} + h) / R, r_1 = r / R, q = m / UR^2, gR^2 / U^2L = S, \\ \varepsilon = R / L$$

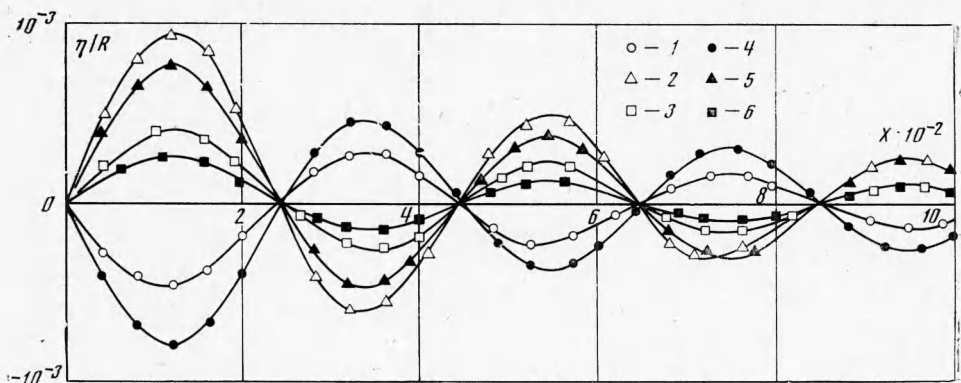
Здесь $\bar{y}, h, r = x / \cos \varphi$ — исходные размерные переменные, параметр S обратно пропорционален плотностному числу Фруда. В переменных (28) интегральные выражения (26) с учетом (27) примут вид

$$\frac{\eta}{R} = \frac{q}{\pi^2} e^{\varepsilon y_1/2} \left\{ \int_0^{\pi/2} d\theta \int_0^b J \sin(kr_1 \sin(\theta + \varphi)) dk + \right. \\ \left. + \int_{\varphi}^{\pi/2} d\theta \int_0^b J \sin(kr_1 \sin(\theta - \varphi)) dk \right\}, \quad x \geq 0$$

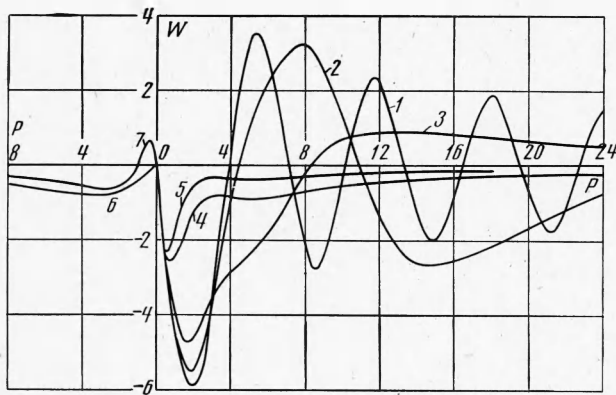
$$\frac{\eta}{R} = \frac{q}{\pi^2} e^{\varepsilon y_1/2} \int_0^{\gamma} d\theta \int_0^b J \sin(kr_1 \sin(\gamma - \theta)) dk, \quad x < 0$$

$$J = -\frac{\sin(ak \sin \theta)}{n \sin \theta} \left[\frac{\varepsilon}{2} \cos(ny_1) + n \sin(ny_1) \right]$$

$$n = \sqrt{\bar{b}^2 - k^2}, \quad \bar{b} = \sqrt{S/\sin^2 \theta - \varepsilon^2/4}$$



Фиг. 3



Фиг. 4

При $S \gg \varepsilon^2$, что равносильно выполняющемуся в практически интересных случаях условию $gL / U^2 \gg 1$, можно приближенно заменить

$$\tilde{b} \approx \sqrt{S} / \sin \theta, \quad J \approx -\sin(\alpha k \sin \theta) \sin(\sqrt{S / \sin^2 \theta - k^2} y_1) / \sin \theta$$

Тогда в переменных

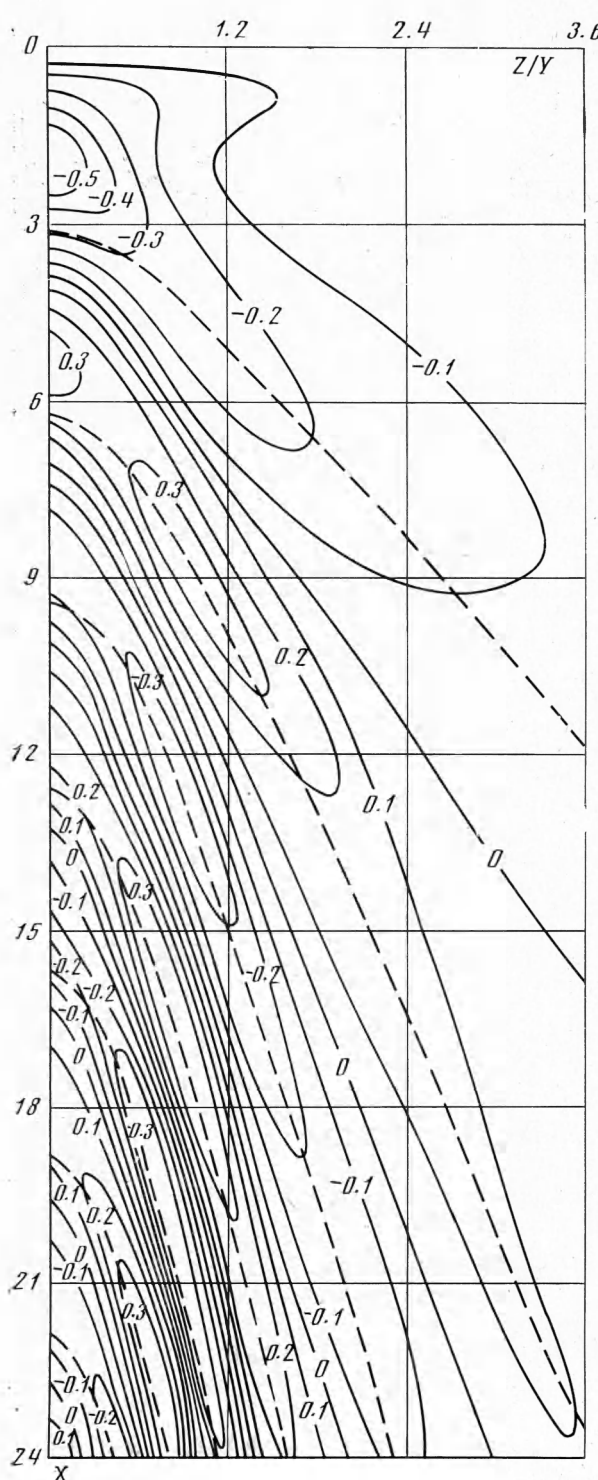
$$P = r_1 \sqrt{S}, \quad Y = y_1 \sqrt{S}$$

получим универсальные выражения

$$(29) \quad W(P, \varphi, Y) = \frac{\eta}{RS \sqrt{\alpha^2 + 1}} \exp(-\varepsilon Y / 2 \sqrt{S}) = \\ = \frac{1}{\pi} \left\{ \int_0^{\pi/2} d\theta \int_0^{\pi/2} \bar{J} \sin \left(\frac{\sin t}{\sin \theta} P \sin(\theta + \varphi) \right) dt + \right. \\ \left. + \int_{\varphi}^{\pi/2} d\theta \int_0^{\pi/2} \bar{J} \sin \left(\frac{\sin t}{\sin \theta} P \sin(\theta - \varphi) \right) dt \right\}, \quad x \geq 0$$

$$W(P, \varphi, Y) = \frac{1}{\pi} \int_0^{\gamma} d\theta \int_0^{\pi/2} \bar{J} \sin \left(\frac{\sin t}{\sin \theta} P \sin(\gamma - \theta) \right) dt, \quad x < 0$$

$$\bar{J} = -\frac{\sin 2t}{2 \sin^2 \theta} \sin \left(\frac{\cos t}{\sin \theta} Y \right)$$



Фиг. 5

в которых правые части не зависят явно от S . При выводе (29) была использована приближенная зависимость

$$\begin{aligned} \sin(\alpha\sqrt{S}\sin t) &\approx \\ &\approx \alpha\sqrt{S}\sin t \end{aligned}$$

которая справедлива при малых значениях $\alpha\sqrt{S}$.

Сравнение решений полной задачи (24) без учета слагаемого, описывающего локальные эффекты (светлые значки), и упрощенной модели (29) (темные значки) представлено на фиг. 3 для диполя при $gR/U^2=0.5$, $h/R=20$, $\epsilon=5 \cdot 10^{-4}$, $\varphi=0$, $y/R=-8$ (кривые 1, 4), -32 (кривые 2, 5), -56 (кривые 3, 6). Фазовые картины в обоих решениях совпадают, а амплитуды несколько отличаются, что особенно заметно при небольших x . Интересно отметить, что толщина слоя жидкости, в котором развиваются внутренние волны, в пространственном случае намного меньше, чем в плоском.

На фиг. 4 представлена функция $W(P, \varphi, Y)$ для $Y=0.1$, где при $x>0$ кривые 1—5 соответствуют значениям $\varphi=0, 0.5, 1, 3.5^\circ$ и при $x<0$ кривые 6, 7 — значениям $\gamma=3, 5^\circ$. Видно, что при $x>0$ функция W отлична от 0 лишь в малой окрестности $\varphi=0$. Влияние тела также оказывается и вверх по течению, но в значительно более слабой форме (на фиг. 4 не изображены те кривые при $x<0$, для которых максимум абсолютной величины меньше 5% соответствующего значения при $x>0$). Мини-

мальное значение Y в выполненных расчетах, равнялось 0.005. При $\varphi = 0$ функция W осциллирует по P с амплитудой, пропорциональной $1/\sqrt{P}$ и длиной волны, равной примерно 2π . В размерных переменных это составляет $2\pi U \sqrt{L}/g$, что обычно очень велико по сравнению с длиной поверхностных волн.

Аналогичный до некоторой степени вывод сделан и в [7], где исследуются внутренние волны, вызванные движущимся источником в стратифицированной жидкости. Однако предположение об осесимметричности следа не подтверждается результатами настоящей работы.

Интересно отметить, что численные расчеты указали на существование для функции W , выполняющейся с точностью до погрешности численного интегрирования, закономерности

$$(30) \quad W(P, \beta\varphi, \beta Y) = \beta^{-1} W(P, \varphi, Y)$$

где β — произвольная положительная постоянная. Используя (30), даже при ограниченном числе расчетов функции W можно построить картины развития следа в поперечных плоскостях $x = \text{const}$ за телом. Учитывая (30) и тот факт, что весь след развивается в области малых значений угла φ , получим, что при $x = \text{const}$

$$W(\beta Z, \beta Y) = \beta^{-1} W(Z, Y), \quad Z = P \sin \varphi$$

откуда автоматически следует, что в плоскости $x = \text{const}$ линии равной фазы являются радиальными прямыми, проходящими через точку $Y = 0, Z = 0$. На фиг. 5 показаны результаты для всех исследованных значений $X = P \cos \varphi$ и изображены изолинии функции $W_1 = WY$. Пунктирные кривые на этой фигуре построены по формуле

$$Z/Y = \sqrt{(X/\pi n)^2 - 1}$$

полученной в [8] для положения гребней и впадин волнового поля, возникающего от точечного источника возмущений в плоской задаче для линейно-стратифицированной жидкости ($n = 1$ для первой впадины, $n = 2$ для первого гребня и т. д.).

Увеличение удлинения тела, так же как в плоской задаче, проявляется в возрастании амплитуды внутренних волн пропорционально $\sqrt{\alpha^2 + 1}$, что примерно равно удлинению тела (см. табл. 3).

Автор благодарит Ю. М. Лыткина за полезные обсуждения.

Поступила 22 I 1974

ЛИТЕРАТУРА

1. Wu T. Yao Tsu, Mei C. C. Two-dimensional gravity waves in a stratified ocean. *Phys. Fluids*, 1967, vol. 10, No. 3.
2. Mei C. C. Surface wave pattern due to a submerged source travelling in a stratified ocean. *Rept. Hydrodynam. Lab., Mass. Inst. Technol.*, 1966, No. 92.
3. Кочин Н. Е., Кильбель И. А., Розе Н. В. Теоретическая гидромеханика, ч. 1. М., Физматгиз, 1963.
4. Струрова И. В. Плоская задача о волновых движениях, возникающих в стратифицированной жидкости, при обтекании погруженного диполя. В сб. «Динамика сплошной среды», вып. 15. Новосибирск, 1973.
5. Harelock T. H. The wave pattern of a doublet in a stream. *Proc. Roy. Soc. London, Ser. A.*, 1968, vol. 28, No. 788.
6. Wu T. Yao Tsu. Three-dimensional internal gravity waves in a stratified free-surface flow. *ZAMM*, 1965, Bd 45, Sonderheft.
7. Keller J. B., Munk W. H. Internal wave wakes of a body moving in a stratified fluid. *Phys. Fluids*, 1970, vol. 13, No. 6.
8. Koh R. C. Y. Transient motions induced by local disturbances in a linearly density-stratified fluid. *J. Hydraulic Res.*, 1971, vol. 9, No. 3